

计算机图形学学科研讨会

2005 杭州

几何造型中的计算与逼近问题

王国瑾

浙江大学数学系

CAD&CG 国家重点实验室

几何造型

——计算机图形学的重要内容之一

本次会议的一个重要议题:

- 几何造型研究——现状如何?
- 几何造型研究——往何处去?

从几何造型的相关术语谈起

- 几 何 设 计
- 几 何 表 示
- 几 何 计 算
- 几 何 逼 近
- 几 何 处 理

- 几何设计的核心问题
 - 几何表示 几何造型
- 几何造型的基本技术
 - 几何计算 几何逼近
- 几何计算
 - 几何特征量化 几何关系判断
 - 几何形式转化 数字几何处理
- 几何逼近
 - 近似几何表示 区域几何表示

报 告 内 容

(一) 几何造型的研究现状与趋势

(二) 几何计算与几何逼近的研究进展

(一) 几何造型研究的现状与趋势

- 从国内外专业期刊看研究现状

CAGD, CAD, JCST, 软件学报,
计算机学报, 计算机辅助设计与图形学学报

- 从国内外专业会议看研究趋势

SIAM C on GDC, IMA C on MS, GMP,
CAD/CG, KCJ C on GVC, SSS, GDC,
Siggraph, Eurograph, Pacific Grapgics, China Graph

国际权威期刊CAGD

- 近三年及今年一季度的论文内容分析
- 近三年及今年一季度的完成单位统计

表1. CAGD论文内容的分类统计

年 份	2002	2003	2004	2005	2002-2005
论文总篇数	45	38	51	14	148
参数曲线与曲面	25	21	26	7	79
代数与三角样条	3	5	4	4	16
点集插值与逼近	8	3	6	2	19
网格与细分曲面	8	6	7		21
区间曲线与曲面	1		3		4
点云曲线与曲面			1		1
代数曲线与曲面		1		1	2
立体造型运动学		2	4		6

表2. CAGD论文“参数曲线曲面”内容的 分 类 统 计

年 份	2002	2003	2004	2005	2002-2005
论文总篇数	25	21	26	7	79
曲线曲面表示	12	5	8	5	30
参数化技术	2	3	3		8
隐式化技术	4		1		5
光顺/形状控制		1	4	1	6
连续拼接	2				2
降阶逼近	2	1	2	1	6
等距变换	2	1			3
几何量计算	1	9	6		16
极小/可展曲面		1	2		3

表3. CAGD论文的主要完成国家统计

年 份	2002	2003	2004	2005	2002-2005
论文总篇数	45	38	51	14	148
美国	10	6	15	2	33
中国	7	7	11	3	28
德国	4	5	7	1	17
西班牙	7	2	4	3	16
韩国	3	2	5	2	12
英国	3	1	1	1	6
奥地利		2	4		6
加拿大	4	2			6
印度	2	3			5
匈牙利	3	1			4

表4. CAGD论文的我国完成单位统计

年 份	2002	2003	2004	2005	2002-2005
论文总篇数	45	38	51	14	148
中国总篇数	7	7	11	3	28
中国占比例	16%	18%	22%	21%	19%
浙江大学	4	3	4		11
中国科技大学	1	2	2		5
清华大学			1	3	4
中科院系统所			2		2
中南大学	1		1		2
山东理工大学		1	1		2
山东大学	1				1
香港大学		1			1

从国内外专业会议看研究趋势

- 美国工业与应用数学协会的几何设计与计算会议 (SIAM Conference on GDC)

1983年开始, 两年举行一次. 2003年在美国Seattle 召开.

2005年10月30日—11月3日将在美国亚利桑那州 Phoenix 召开

SIAM on GDC'05 目的

- 让学术界、工业界和政府部门研究人员讨论几何在设计、制造及物理现象表示与分析等问题中的数学与计算问题
- 引起对应用计算与数学方法去解决实际问题或对几何现象在医学、生物学、建筑、艺术等领域的应用感兴趣的人们的关注.

SIAM on GDC'05主题

- 代数及微分几何, 计算几何, 计算拓扑
- 计算机辅助设计与制造, 计算机视觉与基于图象的造型
- 计算机图形与可视化, 曲线与曲面设计, 动力学与机器人
- 网格生成与处理, 多分辨率方法
- 逆向工程, 散乱数据造型与样条
- 工程、医学、建筑及其他领域的应用等

从国内外专业会议看研究趋势

- 英国数学及其应用学会的曲面数学会议
(IMA Conference on MS)

每两年举行一次. 2003年在英国利兹召开第10届会议

2005年9月5—7日将在英国召开第11届会议.

IMA Conference on MS' 05的出发点

- 构造、表示与处理复杂曲面的基于计算机的方法需要曲面数学
- 计算机辅助设计与制造、计算机视觉及零件检查中要求曲面描述
- 曲面描述引起图形信息系统、多媒体、科学与医学的许多其他领域的兴趣.

IMA Conference on MS' 05的主题

- 曲面表示、处理、逼近、设计及应用，重点是计算方法及数学原理
- 综述曲面数学某方面的技术情况
- 涉及曲面数学实际应用并能指示研究方向

从国内外专业会议看研究趋势

●几何造型与处理国际会议(GMP)

每两年举行一次. 00香港, 02东京, 04北京, 06美国

GMP'04

特邀演讲:

● 曲线分形, 图象研究综述, 偏微方程曲面处理
15个国家投寄论文133篇, 录用报告31篇:

- 曲线与曲面6篇, 插值与逼近4篇, 几何造型3篇
- 网格编辑与处理4篇, 网格与细分3篇
- 三维数据几何处理3篇, 立体与曲面重建4篇
- 逆向工程及工业应用4篇

从国内外专业会议看研究趋势

●CAD&CG国际会议(CAD/CG)

CAD/CG'05 2005年12月, 香港

主题:

- 几何与立体造型、基于图象的造型与可视化、CAD数据库及数据交换
- 设计计算, 工程公差、网格、逆向工程、计算几何应用、计算机图形

从国内外专业会议看研究趋势

●中韩双边第一届几何与可视计算会议

(Korea and China Joint C on Geometric and Visual Computing)

2005年8月韩国釜山(Busan)

会议内容:

- 几何造型、曲面重建、数字几何处理
- 网格生成、计算几何、反向工程
- CAD在纳米及生物技术中的应用
- 产品数据交换、虚拟制造、绘制技术
- 基于web的协同设计

从国内外专业会议看研究趋势

●中国SIAM几何设计与计算学术会议(GDC) GDC'02 (青岛)

投稿论文104篇, 74篇收入论文集:

- 自由曲线与曲面33篇, 计算几何10篇
- CAD/CAM技术及应用9篇
- 基于图象的建模和绘制7篇
- 网格的生成与处理8篇, 反向工程4篇
- 三维造型系统新技术3篇

从国内外专业会议看研究趋势

●中国SIAM 几何设计与计算学术会议(GDC) GDC'05 (合肥)

特邀演讲12篇:

- 代数样条曲面的近似参数化, 双三次Bézier曲面插值
- 网格曲面编辑, 网格计算与优化, 计算几何
- 几何定理证明与发现的自动化, 数字几何中频谱分析
- 几何逼近与计算, 点云曲线的B样条拟合
- 由常微分方程解产生的分段函数
- 三维数字化技术, T网格上的样条曲面

从国内外专业会议看研究趋势

●中国SIAM 几何设计与计算学术会议(GDC) GDC'05 (合肥)

投稿论文132篇, 36篇推荐到期刊, 43篇收入论文集:

- 自由曲线与曲面24篇, 网格/细分与点曲面15篇
- 插值与逼近14篇, 计算机辅助设计4篇
- 计算机图象处理11篇, 图形学算法及应用6篇

从国内外专业会议看研究趋势

图形会议部分有关几何造型,也可看出研究趋势

- 美国图形会议(Siggraph)
- 欧洲图形会议(Eurograph)
- 太平洋图形会议(Pacific Grapgics)
 - 02(北京), 03(加拿大), 04(北京), 05(澳门)
- 中国图形会议(China Graph)
 - 02(北京), 03(澳门), 04(西安).

几何造型研究 现状分析之一

- 几何造型的主流研究内容与方向, 近几年没有明显变化, 仍集中在传统的曲面表示与计算
- 参数曲面的表示、逼近、计算, 占研究总量一半以上
- 传统的样条和插值, 占研究总量四分之一左右
- 新兴的网格、点云、细分曲面后来居上, 研究内容不断增长, 但只限于研究总量的六分之一
- 这三者构成了几何造型的研究主体

几何造型研究 现状分析之一(续)

原因分析:

- 国内外设计系统仍是以NURBS为主，
且仍有数学模型或方法问题亟需解决
- 网格、细分曲面虽有优点，但极限曲面
位置不确定，只能为艺术造型与动画设计
所用，离机械产品设计的目标有距离

几何造型研究 现状分析之二

- 参数曲面表示、逼近、计算，内容构成有了变化
- 精确表示法(含隐式化表示)与重新参数化
——减少到了研究总量的一半左右
- 几何处理、几何逼近、几何量近似计算
——增加到了研究总量的一半左右
- 曲面求交与拼接已不再是研究热点
- 传统微分几何的测地线计算、曲率计算、可展性质、极小性质
——渐受重视，催生着计算微分几何学科建立

几何造型研究 现状分析之三

- 样条与点集插值方面，两个新动向：

- 三角样条与代数样条的融合形成了一时的热点

- 大规模点云数据的拟合及逼近，随着数字几何处理的普及，成为新的热点，且较多采用径向基函数法及极小能量法

几何造型研究 现状分析之四

- 我国学者在权威期刊CAGD的几何造型论文——有逐年增加之势
- 近年中达到了国际总量的五分之一左右——紧跟美国, 占世界第二
- 我国学者在计算机图形学的研究表现——其国际地位比几何造型要稍逊一筹

几何造型研究 趋势分析之一

- 关注代数、微分几何与CAGD的交叉及融合

- 大力开发

 - 多元样条的代数性质与几何构造

 - T样条维数定理及实用算法

 - 网格曲面生成与优化算法

- 促进

 - 计算代数几何、计算微分几何、离散微分几何、计算拓扑等的建立与发展,使几何造型有更深厚扎实的理论基础

几何造型研究 趋势分析之二

- 积极开拓

- 点云数据的获取与最佳参数化技术
- 网格曲面、细分曲面的插值定位技术
- 细分曲面的分析性质与应用范围

- 建立

- 数字几何处理的全新理论框架及整套实用算法

几何造型研究 趋势分析之三

- 不断解决

- 计算机图形学提出的曲面模型、设计、绘制等数学理论问题

- 发展基于图象的几何造型算法

- 促进几何设计、计算机图形、图象、视觉的四者融合

- 继续研究

- 参数曲面、代数曲面的几何表示、几何逼近、几何计算方法

- 从工程、医学、生物、建筑、艺术等应用角度

- 发展新理论

(二) 几何计算与几何逼近的研究进展

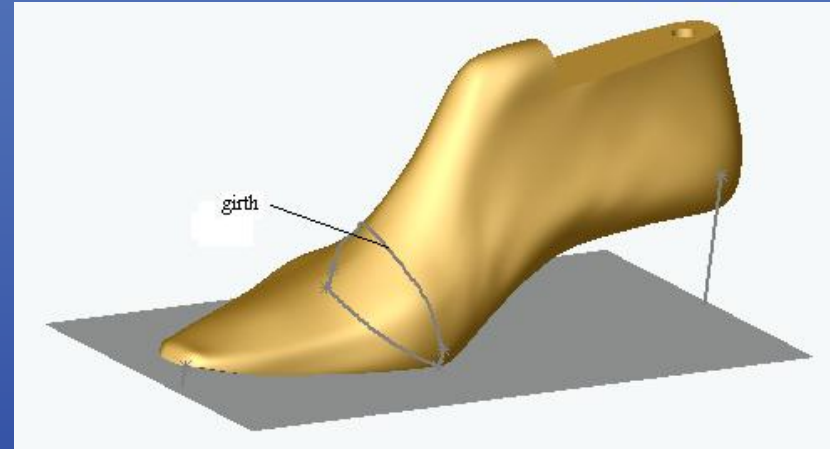
- 具有公共测地线的曲面束计算
- 多面体表面上的局部最短路径计算
- 由点云内在性质驱动的网络重建算法
- 平面三角片与其插值曲面片的最大距离估计
- 圆锥曲线的有理四次表示
- 有理曲线高阶导矢多项式逼近的收敛性
- 基于精确表示圆弧的等距曲线逼近
- 用割角多边形产生B-B曲线的更小包围域
- L_2 范数下带约束的Bézier曲线最佳降多阶

具有一条公共空间测地线的 曲面束的参数表示

- 正向分析法(传统方法):
给定一张曲面, 求出测地线

- 逆向综合法(新的方法):
鞋腰线: 度量鞋面的宽与高
当鞋面被展平时, 它投影到一条近似直线
鞋的形状频繁地改变, 以适合时尚潮流

- 以鞋腰线为公共测地线, 写出曲面束方程,
其任一曲面都是候选鞋面

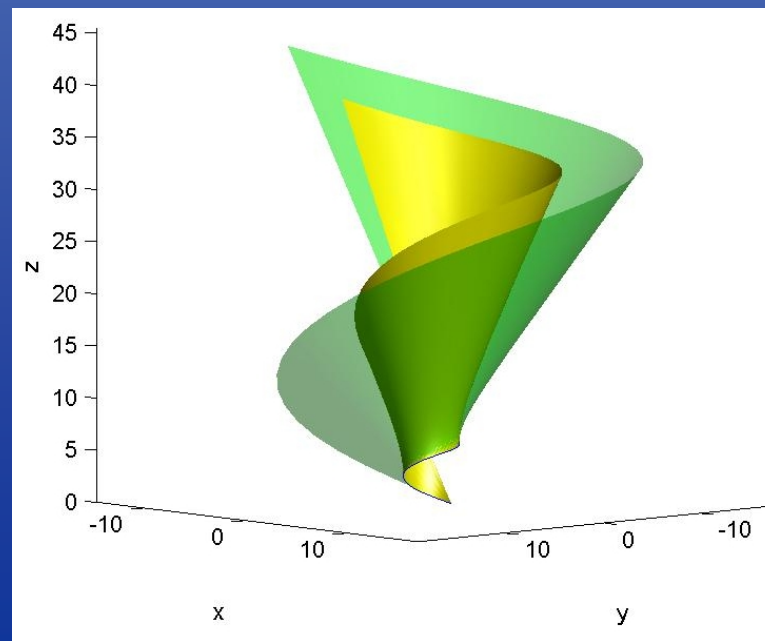
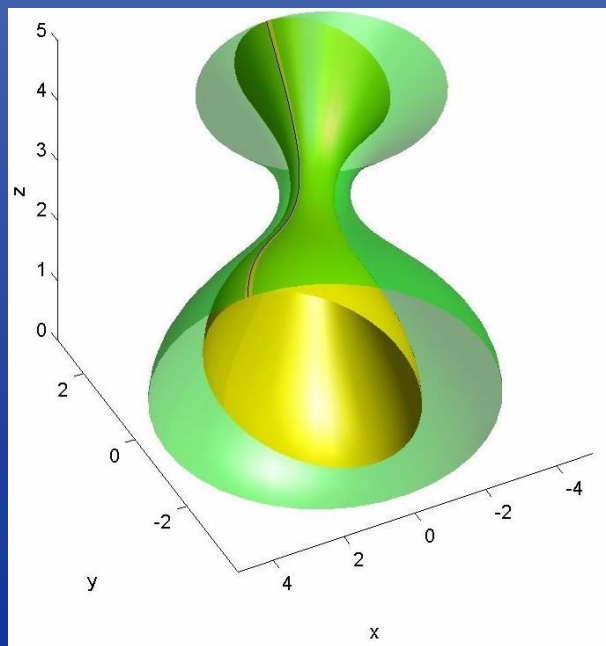


基本思路与做法:

利用沿此测地线的Frenet三面形

把曲面束表为此局部座标系中各分量的线性组合

求出组合系数满足测地线与等参要求的充要条件



多面体表面上局部最短路径的快速算法

相关的最好工作:

- Chen, Han, **Proc Sixth ACM Sym. On Computational Geometry, 1990**

求精确最短路径, 利用Continuous Dijkstra技巧,
但预处理既多费时间又多占空间

- Kanai, Suzuki, CAD, 2001

求近似最短路径, 尽量缩小求解区域, 选择合适子图, 近似算法带来不确定性

●新算法

模拟光线行进路径

将连接源点和终点的多面体上的面列展开在平面上

把问题转化为此面列上这两点之间光线行进路径的确定

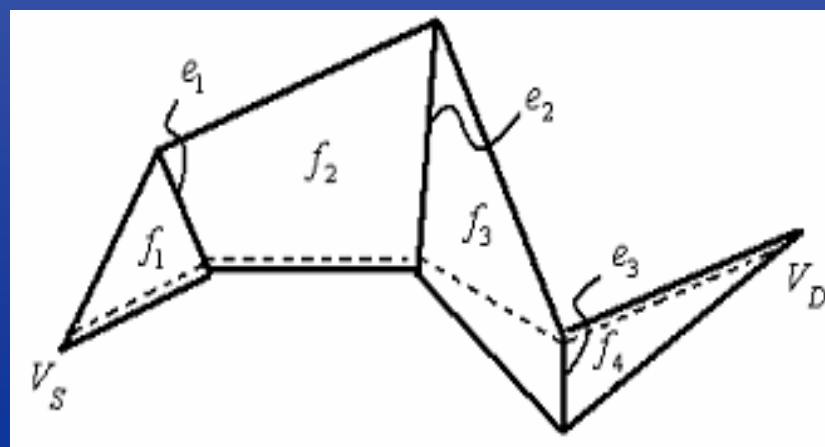
✓ 与Kanai法相比

前者效果精确，后者近似；

相对误差不高于0.4%时，效率快3到4倍，不占用额外存储空间；

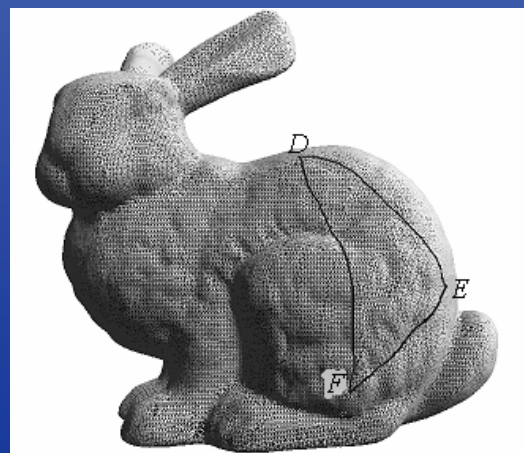
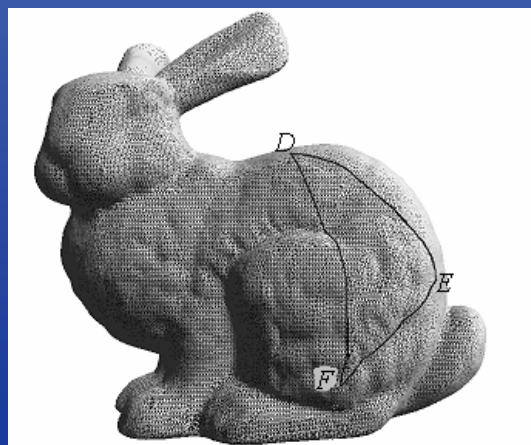
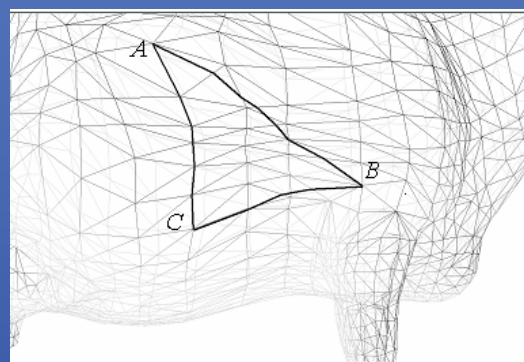
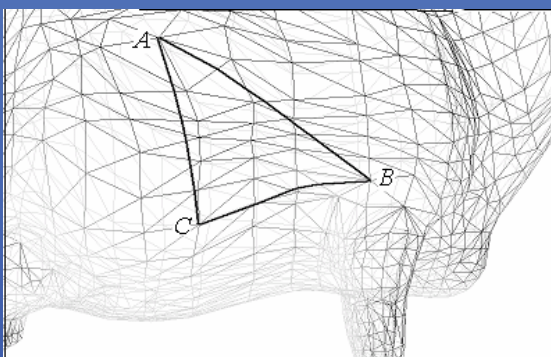
算法时间复杂度不超过 $O(k^2)$ ， k 为最短路径穿过的多边形平面个数.

规则面列上
面的局部最短路径



实例验证:

本算法求出的最短路径



KS
算法求出的路径

由点云内在性质驱动的网格重建算法

相关工作:

- Bernardini F., Mittleman J., Rushmeier H. et al, IEEE TVCG, 1999
- Huang, J., Menq, C. H., CAD, 2002

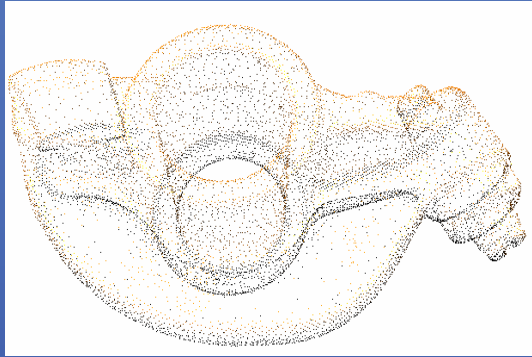
➤ 方法的局限: 算法借助于人为确定的参数

➤ 新方法的思想:

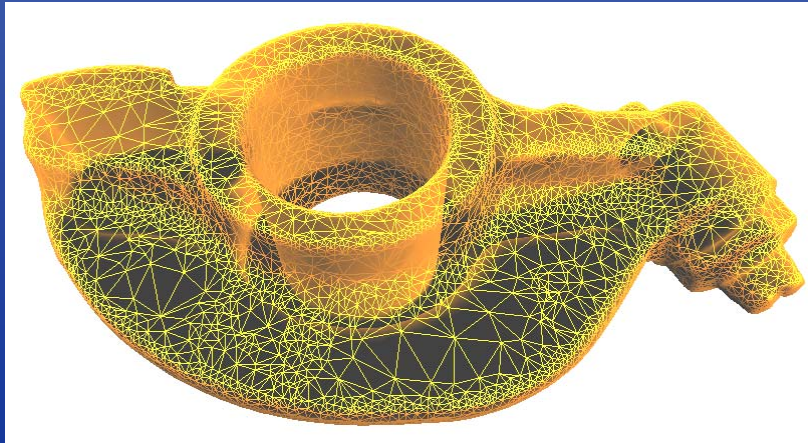
- 将网格中此点邻接的最长最短边的长度比定义为采样均匀度.
- 用它驱动算法, 为活动边寻找新点, 组成新三角形
- 是对点云限制在二维流形上的局部最小权三角剖分, 所以拓扑结构接近被采样体表面

实际例子：摇臂

点云



重建网格曲面



重建网格，
可以看到
点云的不
均匀分布

平面三角片与其插值曲面片的最大距离估计

相关工作:

- Sheng, X., Hirsch, B.E., CAD, 1992:

(M_i : 曲面二阶偏导矢界)

$$\sup_{(u,v) \in T} \|S(u,v) - l(u,v)\| \leq \frac{2}{9} L^2 (M_1 + 2M_2 + M_3).$$

- Vigo, M., Pla, N. and Brunet, P., CAGD, 1999:

引入有向三角剖分, 改进估计, 但形式复杂, 计算繁琐

- Sun W., Bradley C, Zhang Y.F. and Loh H.T., CAD, 2001:

将常数 $\frac{2}{9}$ 改进为 $\frac{1}{8}$, 证明不严密, 非精确估计

新的估计

$$\sup_{(u,v) \in T} \|S(u,v) - l(u,v)\| \leq \frac{1}{8} L^2 (M_1 + M_2 + M_3 - \min\{M_1, M_2, M_3\}),$$

- 是最精确的和不可改进的
- 当 $M_1 = M_2 = M_3$ 时，将Sun的界值减少了一倍

有理四次圆锥曲线的几何特征

●研究意义:

有理三次椭圆段的圆心角:

不超过 $\left[1.5 + 0.5 \operatorname{sgn}(c - \sqrt{3})\right] \pi - \arctan(2\sqrt{3}c/(c^2 - 3))$

(c : 长短轴半径之比)

但有理四次椭圆段的圆心角: 可接近 2π

●理论依据:

除二次外, 所有有理圆锥曲线都是退化的
即是可不适当参数化的或可降阶的

有理四次圆锥曲线

- 可降阶的:

有二次多项式 $S(t) = a_0(1-t)^2 + 2a_1(1-t)t + a_2t^2$,
使得 $\mathbf{r}(t) \equiv \mathbf{q}(t)S(t)/S(t)$.

- 是可不当参数化的:

有参数变换 $s(t) = \frac{(1-t)^2 a_0 + 2(1-t)ta_1 + t^2 a_2}{(1-t)^2 b_0 + 2(1-t)tb_1 + t^2 b_2}$

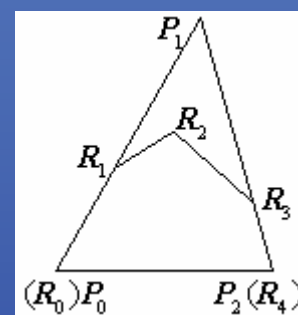
使得 $\mathbf{r}(t) \equiv \mathbf{q}(s(t))$,

有理四次圆锥曲线是可降阶的，当且仅当：

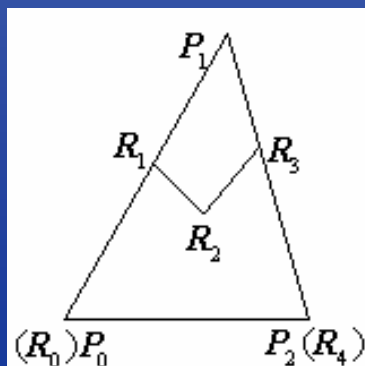
(1a) $R_i (i = 0, 1, \dots, 4)$ 五点共面；

(1b) R_1, R_2, R_3 三点的位置

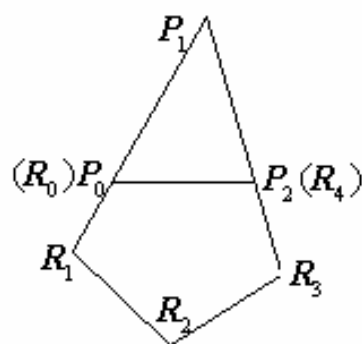
为下列情形之一：



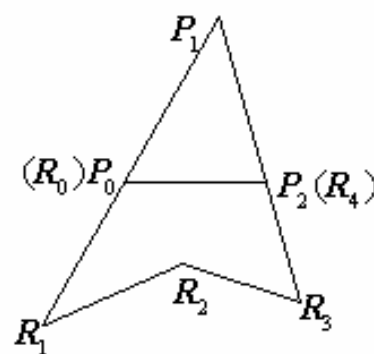
(1)



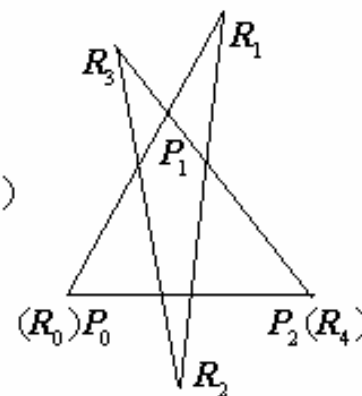
(2)



(3)



(4)



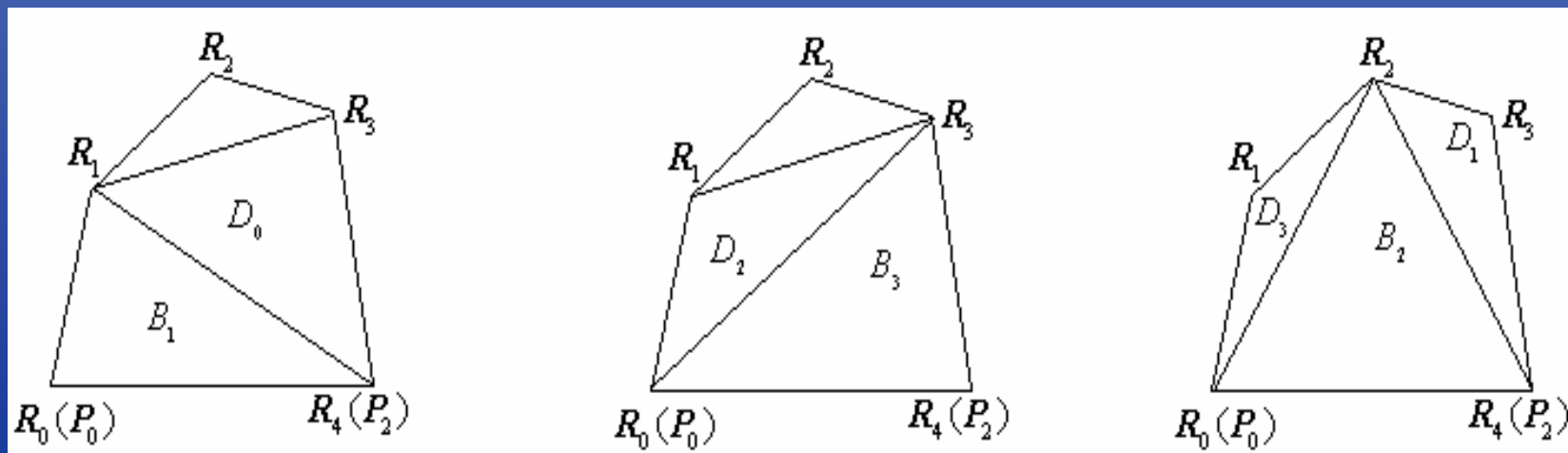
(5)

$$(1c) \quad \frac{\omega_1^2}{\omega_0 \omega_2} = \frac{3 B_2 B_3}{8 B_1 D_0};$$

$$(1d) \quad \frac{\omega_2^2}{\omega_1 \omega_3} = \frac{4 B_3 D_0}{9 B_2 D_1} = \frac{4 B_1 D_2}{9 B_2 D_3};$$

$$(1e) \quad \frac{\omega_3^2}{\omega_2 \omega_4} = \frac{3 B_1 B_2}{8 B_3 D_2}.$$

有向面积:



有理曲线高阶导矢多项式逼近的收敛性

相关工作:

- Wang, Sederberg and Chen, JAT,1997:
Hybrid多项式逼近收敛性,
- Wang and Zheng,GMIP,1997:
Hybrid曲线移动控制顶点的界估计
- Wang and Sederberg,CADDM,1994:
有理曲线求积的Hybrid多项式逼近
- Liu and Wang, GMP,2000:
Hybrid与Hermite多项式逼近的关系

$$\mathbf{H}^{r,p}(t) \equiv \mathbf{R}(t) = \sum_{i=0, i \neq r}^{r+p} B_i^{r+p}(t) \mathbf{H}_i^{r,p} + B_r^{r+p}(t) \mathbf{V}^{r,p}(t), \quad 0 \leq t \leq 1$$

●问题:

可否用Hybrid多项式逼近的导矢(曲率, 挠率)

代替有理曲线导矢(曲率, 挠率)? 收敛? 条件?

Floater, 94的导矢界公式推广

$$\left\| \frac{d\mathbf{R}(t)}{dt} \right\| \leq n\omega^2 \max_{0 \leq i \leq n-1} \|\mathbf{R}_i \mathbf{R}_{i+1}\|, \quad 0 \leq t \leq 1. \quad \omega = \frac{\max_{0 \leq i \leq n} \omega_i}{\min_{0 \leq i \leq n} \omega_i}$$

推广到高阶：

$$\left\| \frac{d^2 \mathbf{R}(t)}{dt^2} \right\| \leq 2n(3n-2)\omega^3 \max_{0 \leq i \leq n-1} \|\mathbf{R}_i \mathbf{R}_{i+1}\|, \quad 0 \leq t \leq 1.$$

$$\left\| \frac{d^3 \mathbf{R}(t)}{dt^3} \right\| \leq 6n(7n^2 - 10n + 4)\omega^4 \max_{0 \leq i \leq n-1} \|\mathbf{R}_i \mathbf{R}_{i+1}\|, \quad 0 \leq t \leq 1.$$

其中关键：证明

$$\|H_k\| \leq n \cdot (\max_{0 \leq i \leq n} \omega_i)^2 \max_{0 \leq i \leq n-1} \|R_i R_{i+1}\|, \quad k = 0, 1, \dots, 2n-2.$$

$$H_k = \frac{1}{\binom{2n-2}{k}} \sum_{i=\max(0, k-n+1)}^{[k/2]} (k-2i+1) \binom{n}{i} \binom{n}{k-i+1} \text{Dir}(\tilde{R}_i, \tilde{R}_{k-i+1})$$

$$k = 0, 1, \dots, 2n-2.$$

再分析余项，证明：当Hybrid多项式逼近收敛时，结论成立：

$$\lim_{s \rightarrow \infty} \left\| \frac{d^l \tilde{H}^{s,s}(t)}{dt^l} - \frac{d^l R(t)}{dt^l} \right\| \leq$$

$$\lim_{s \rightarrow \infty} O\left(\frac{s^l}{2^s}\right) \left(\sum_{k=0}^{n-1} \binom{s}{k} \lambda_{\max}^{s-k} \right) \|\mathbf{T}_n^{11}\|_{\infty} \|(\mathbf{T}_n^{11})^{-1}\|_{\infty} \max_{1 \leq k \leq n} \|R_k - R_0\| = 0.$$

$$0 \leq t \leq 1, \quad l = 0, 1, 2, 3.$$

基于精确表示圆弧的 等距曲线逼近方法

相关工作：

- Lee, I.K., Kim, M.S., Elber, G., CAD, 1996

基圆二次Bézier样条曲线逼近的包络方法

- Ahn, Y.J., Kim, Y.S., Shin, JCAM, 2004

改用Floater (CAD, 97)的圆逼近法逼近基圆

✓ 方法的局限：

不能精确表示常用曲线, 逼近误差偏大

分析：等距逼近误差的来源

(1) 基曲线到目标曲线的距离, 与等距半径的

- 大小不一致性

(2) 基曲线到目标曲线的指向, 与基曲线法向的

- 方向不一致性

✓ 思想

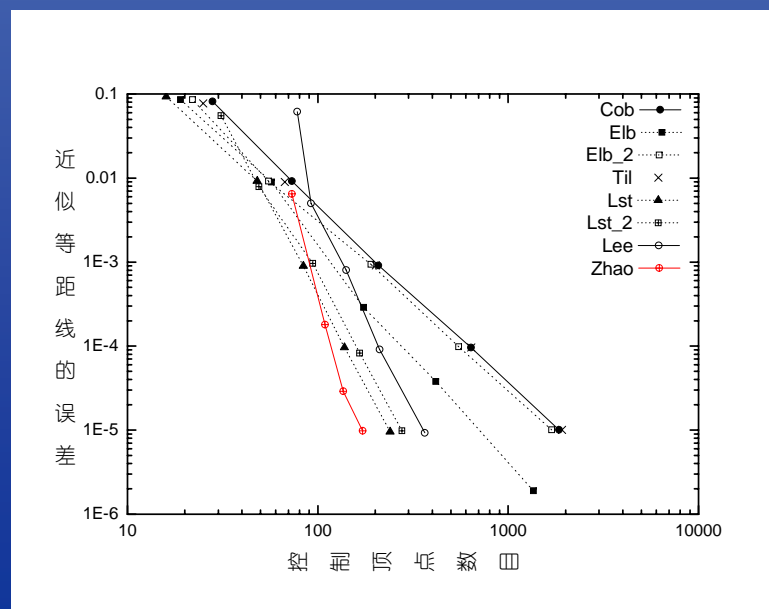
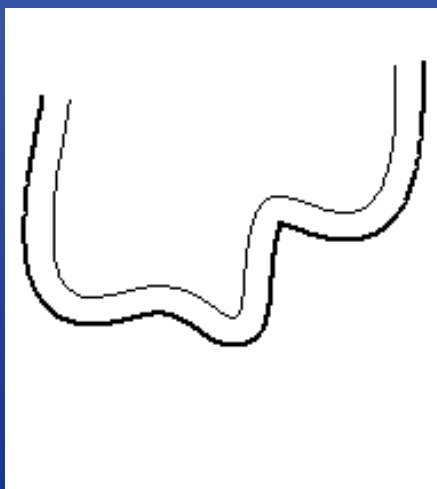
- 避免(1), 减轻(2)

- 把基曲线单位法矢看作单位圆弧, 精确表为有理Bézier曲线

- 合成曲线 $C(t) + rQ(s)$, 重新参数化 $Q(s)$, 保证等距逼近曲线 C^1

本方法优点

- 精确表示圆弧的等距线
- 误差界与基曲线法向转角六次方同阶, Lee: 四次方同阶
- 曲线的分段数较少, 如对三次均匀B样条曲线作等距逼近:

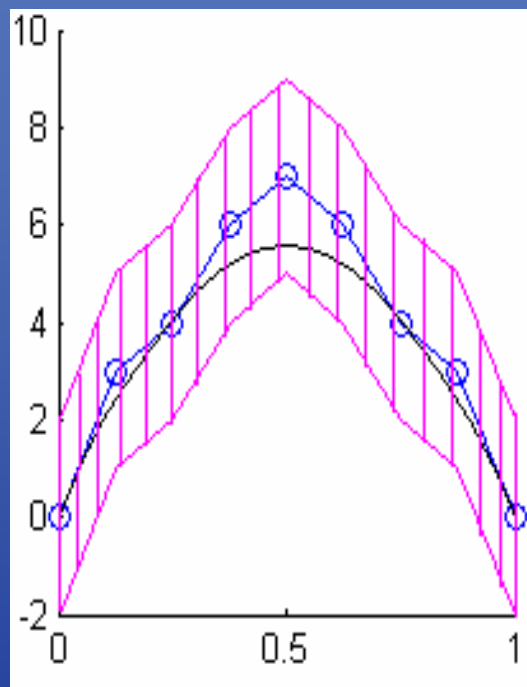


用割角多边形产生 B-B曲线的更小包围域

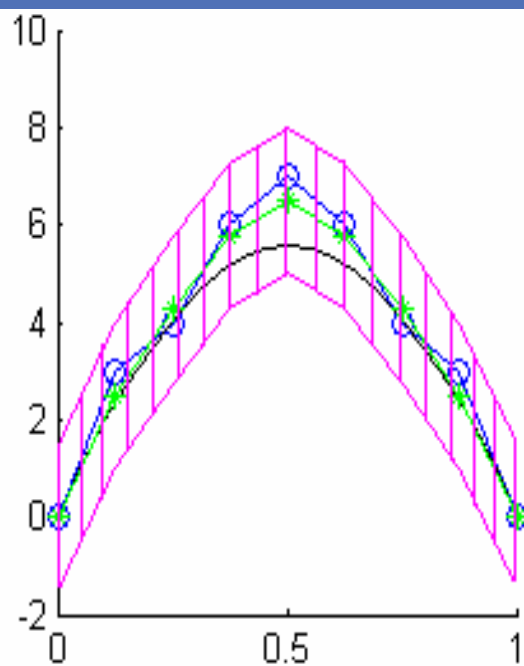
相关工作:

- Nairn,D., Peter,J., Lutterkort,D,
控制多边形包围域的界, CAGD, 1999
- Reif Ulrich.,
给出新证明, 并推广到曲面, CAGD, 2000
- David Lutterkort, Jörg Peters,
提出另一种包围域, CAGD, 2001
- Zhang R-J., Wang G-J.,
提出拟控制多边形包围域, CAGD, Accepted

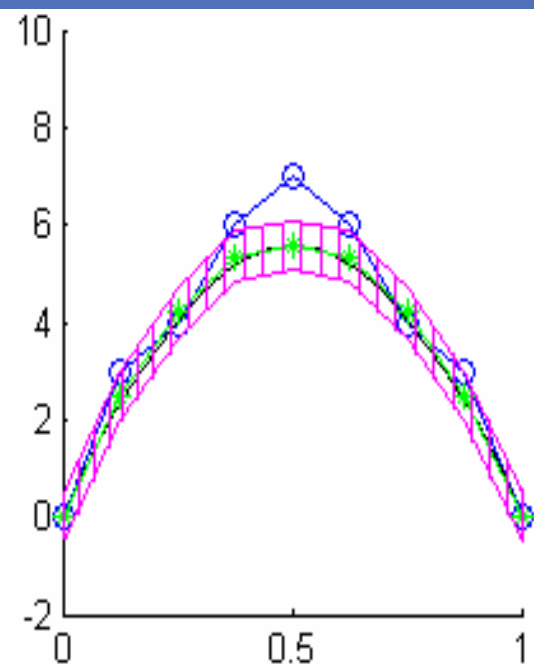
八次B-B多项式曲线的包围域



控制多边形



拟控制多边形



割角多边形

新旧方法逼近曲线的精确界值

$$\Delta = \|\Delta_2 b\|_{\infty}$$

多项式曲线次数	2	3	4	5	6	7	8
控制多边形法	$\frac{1}{4}\Delta$	$\frac{1}{3}\Delta$	$\frac{1}{2}\Delta$	$\frac{3}{5}\Delta$	$\frac{3}{4}\Delta$	$\frac{6}{7}\Delta$	Δ
拟控制多边形法	$\frac{1}{16}\Delta$	$\frac{1}{12}\Delta$	$\frac{1}{4}\Delta$	$\frac{7}{20}\Delta$	$\frac{1}{2}\Delta$	$\frac{17}{28}\Delta$	$\frac{3}{4}\Delta$
割角多边形法	$\frac{1}{16}\Delta$	$\frac{1}{12}\Delta$	$\frac{1}{8}\Delta$	$\frac{3}{20}\Delta$	$\frac{1}{6}\Delta$	$\frac{3}{14}\Delta$	$\frac{1}{4}\Delta$

L 范数意义下带约束的 Bézier 曲线最佳降多阶

相关工作:

- Eck, M., CAD, 1995
- Lutterkort, D., Peters, J., Reif. U., CAGD, 1999
- Peters, J., Reif, U., JAT, 2000
- Chen G., Wang G.-J., CAGD, 2002
- Zheng J., Wang G.-Z. , Graphical Models, 2003

✓ 方法的局限:

误差事后估计; 非显式表达; 或非最佳降阶

新方法

- 充分利用Jacobi多项式的代数性质
- 事先判别精确误差，误差最小
- $(r-1, s-1)$ 阶约束，一次降 $n-m$ 阶
- 给出降阶显式： $\tilde{P}_m(t)$

$$= \left(B_0^m(t), B_1^m(t), \dots, B_m^m(t) \right) \left(F_{(m+1) \times (m+1)}^m B_{(m+1) \times (n+1)}^n - F_{(m+1) \times (m-r+1)}^m \right. \\ \left. \times A_{(m-r+1) \times (n-m)}^n \left(A_{(n-m) \times (n-m)}^n \right)^{-1} B_{(n-m) \times (n+1)}^n \right) (b_0 \ b_1 \ \dots \ b_n)^T,$$

新方法

$B_{(n+1) \times (n+1)}^n = (b_{i,j})$: n 次Bernstein基到 n 次幂基的转换矩阵

$F_{(m+1) \times (m+1)}^m = (f_{ij})$: m 次幂基到 m 次Bernstein基的转换矩阵

矩阵 A 的元素:

$$c_j^l = \begin{cases} \sum_{i=j-s}^l (-1)^{i-j} \binom{l+2s}{l-i} \binom{l+2r+2s+i}{i} \binom{i+s}{j}, & n-r \geq j > s; \\ \sum_{i=0}^l (-1)^{i-j} \binom{l+2s}{l-i} \binom{l+2r+2s+i}{i} \binom{i+s}{j}, & s \geq j \geq 0. \end{cases}$$

谢 谢 !